

斜面の雨水貯留について

— 雨水流に関する研究(2) —

筑波大学農林工学系 正員 杉山博信

1. はじめに 山腹斜面での雨水の流出過程を雨水流モデルで追 Table 1

跡してその適応性を検討し、さうにその結果を踏まえて表面流出および中間流出過程における貯留量と流出量並びに伝播時間との関係について考察した結果を述べる。

2. 実験の概要 実験装置としては人工雨装置を備え高さ1m、長さ

10mの二つ配可変水路を設営した。水路床の表層材料により実験条件をTable 1の様に分類した。いずれの場合にも水路床は不浸透性に仕上げてある。Fig.1は各caseでの雨水の流れを模式的に図示したものである。水路の上流端から2, 4, 6, 8, 10m各地点での定常状態

における水深を実測した。特に、case2では水深基準面をFig.2の様に2通りの方法で測定して。さうに、Fig.3はcase3(中間流モデル)での定数(P ; k_s :透水係数, α :有効飽和率)を推定するために流出量と累加初期雨量の関係の一部を図示したものである。

3. 雨水流モデルの検証 case 1, 2, 3 での等流実験および人工雨実験における定常

状態での水深と流出量の関係から得られた定数 P を適用して、雨水流モデルでの流出過程の追跡を試すとの適応性を検討した。Fig.4は各caseでの数値シミュレーションの結果を示したものである。各caseとも流量hydro.の上昇部における実測値と計算値との適合性は良好であるが、case1, 2の下降部では表面流が消滅する附近からは流れの形態が変わるために同一定数値で計算を進めると計算値の方が実測値よりも低減状態が急激になってしまふ。また、case3では早い中間流出と遅い中間流とでは適応性が異なる。しかし、いずれとしてもcase1, case2での上昇部および下降部における表面流出過程でのそれは良好と思われる。一方、定数 P から判断して、Fig.4のcase1, 2での表面流出特性は上昇部も下降部も Manning則あるいはChezy則に従い、case3での人工共生内の流れはDarcy則の流出形態と思われる。

4. 理論式 山腹斜面流の運動方程式およ

び連続式は次式で表現される。

$$h = \frac{P}{g} - \textcircled{1} \quad \frac{\partial h}{\partial t} + \frac{\partial h}{\partial x} = r \quad \textcircled{2} \quad \text{ここで}$$

h : 水深, P : 単位雨量, x : 距離, t : 時

由, r : 降雨強度, P : 定数

次に、斜面上の貯留量と流出量および貯留量と伝播時間の関係はKinematic wave理論の展開により次の様に表現される。

	表層材料	モデル
case1	アスファルト、砂 アスファルト、砂利	表面流モデル
case2	人工芝生(ペル長10mm)	混合流型モデル
case3	人工芝生(ペル長10mm)	中間流モデル

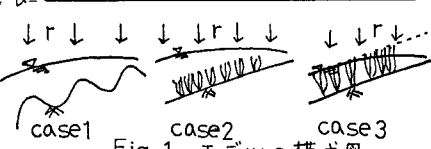


Fig. 1 モデルの模式図

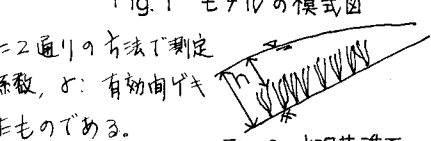


Fig. 2 水深基準面

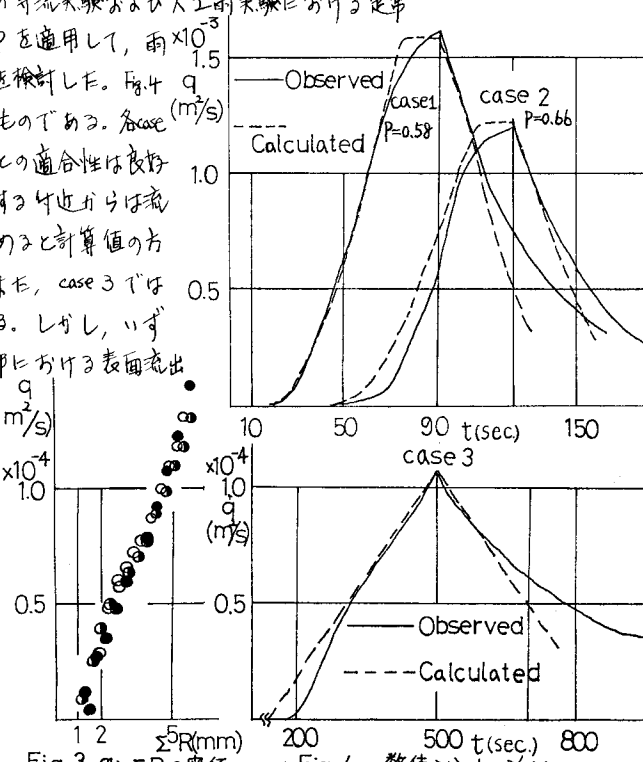
Fig. 3 q と ΣR の関係

Fig. 4 数値シミュレーション

① 貯留量と流出量の関係:

$$\text{上昇期 } S_u = k \left(\frac{Q_0}{r} \right)^P \left(1 - \frac{P}{1+P} \cdot \frac{S_0}{r} \right), \quad S_{Se} = \left(\frac{Q_0}{r} \right)^P \left[1 + P \left(1 - \frac{S_0}{r} \right) \right]$$

$$\text{下降期 } S_d = \frac{k \left(\frac{Q_0}{r} \right)^P \cdot S_0}{1+P}, \quad S_{Se} = \left(\frac{Q_0}{r} \right)^{1+P}$$

② 貯留量と斜面上の伝播時間の関係:

$$\text{上昇期 } S_u = r t_u \left[1 - \frac{P}{1+P} \left(\frac{t_u}{t_e} \right)^P \right], \quad S_{Se} = \frac{t_u}{t_e} \left[1 + P - P \left(\frac{t_u}{t_e} \right)^P \right]$$

$$\text{下降期 } t_d = P \cdot \frac{1 - \left(\frac{S_0}{S_{Se}} \right)^{\frac{1}{P}}}{\left(\frac{S_0}{S_{Se}} \right)^{\frac{1}{P}}}$$

ここで, S_u : 降雨開始後にかけた斜面貯留量(平均水深)

S_e : 定常時の斜面貯留量

S_d : 降雨終了後の斜面貯留量

Q_0 : 単位面積当りの流量

t_u, t_e, t_d : 斜面上の伝播時間

5 理論式の立証 各caseでの人工雨実験による

基礎資料を基にして理論式の立証を試みる。Fig.5は貯留量と流出量の関係を無次元表示したものである。

いずれの場合にも適合性は良好である。即ち、各caseでの貯留量と流出量の関係は顕著なヒステリシス効果を表わしている。次に、貯留量と斜面の伝播時間の関係を図示したもののがFig.6である。case1,2では適合性は良好であるが、case3の場合には余りよくない。これは初期損失の取り扱いが早い中間流出と遅い中間流出とを混同して解析したことによる問題である。

以上の結果は理論式の妥当性を示している。

6. 実流域での流れの形態について

研究対象流域として小河内ダム流域(多摩川水系、262.9 km²)を選定し、山地での出水時の流れの形態について若干の検討を試みた。水系を考慮しながら全流域をFig.7の様に分割し、分割流域ごとに貯留法を適用し解析を行う。Fig.8, 9, 10は各分割流域および全流域の点雨量に基づく数値シミュレーションの結果である。Fig.8では流量hydro.の上昇部および下降部の適合性は良好であり、定数Pから判断して流れの形態はChaplygin則に従うようである。一方、Fig.9, 10での適合性は余りよくない。また、流れも層流形態を示している。これらのことばは、貯留法での解析では、点雨量の代表性、流域の移動、適用範囲、遷移時間等の吟味の必要性を示唆していると思われる。

7. おわりに

人工雨実験で得られた基礎資料に基づいてkinematic wave法の有効性および理論式の妥当性を述べた。最後に、本研究に当たり終始懇切丁寧な御指導を下さった東大防災研究所角屋謙教授に感謝致します。また、実験の援助を惜しまない、東大数々の卒業生に感謝致します。

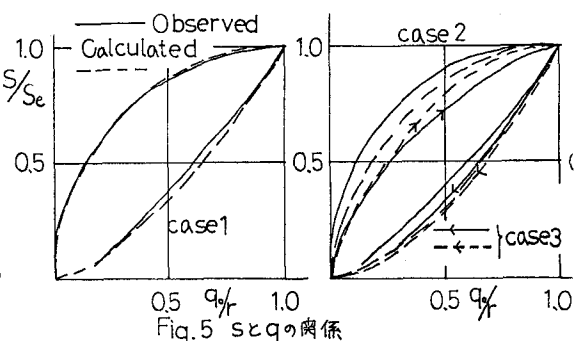


Fig. 5 S/S_e と q/q_e の関係

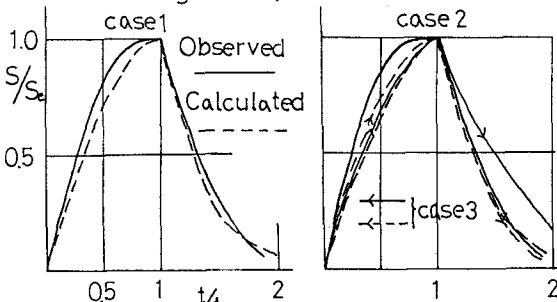


Fig. 6 S/S_e と t/t_e の関係

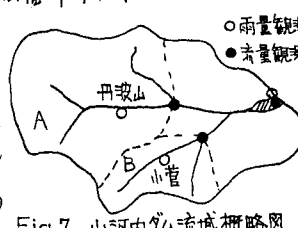


Fig. 7 小河内ダム流域概略図

